

لیزر کوچک تپی CO_2 نوع TEA با پیش یونش کرونا

فریدون سلطانمرادی، سعید جلوانی، سعید پهروزی نیا و مجید آرام

مرکز تحقیقات لیزر

سازمان انرژی اتمی ایران

چکیده

در این مقاله تخلیه دوگانه عرضی فشار اتمسفری در لیزر گاز کربنیک که در آن از سیستم کرونا برای پیش یونش استفاده شده است، ارائه می‌گردد. در این روش آزمایش‌هایی برای افزایش بازدهی سیستم لیزر انجام گرفته است. همچنین سیستم پیش یونش مورد بحث با سیستم پیش یونش جرقه‌ای که گزارش آن قبل از آن ارائه شده مقایسه گردیده است.

در اینجا مزایای سیستم پیش یونش کرونا نسبت به پیش یونش سری جرقه آورده شده است. قدرت لیزر در این سیستم ۸۰۰ کیلو وات اندازه‌گیری شد که بهره آن حدود ۵٪ است. لازم به ذکر است که روش بکار گرفته شده در مورد لیزر CO_2 برای اولین بار در ایران به این شکل مدار انجام گرفته است.

که شامل: الف- سری جرقه‌ای (۴ و ۳)،

ب- کرونا (۶ و ۵)، ج- نیمه هادی (۲) و د- اشعة ایکس (X) (۹ و ۸) است. دومانچین (Dumanchin) ولا فلام (Laflame) برای اولین بار و بطور مستقل دو سیستم دو تپی تخلیه همگن توسط پیش یونش UV ناشی از پیش تخلیه کرونا در محیط با فشار اتمسفر را گزارش کردند (۱۱ و ۱۰).

در سیستم اول آند یکپارچه با مقطع رگوفسکی و کاند به صورت تیغه‌های فلزی بوده است که بین آنها لوله‌های شیشه‌ای قرار داشته و درون لوله‌ها سیمه‌ای نازکی عبور داده شده است. این مجموعه توسط یک خازن به طور سری به آند متصل می‌شدند. با ایجاد ضربان ولتاژ بزرگی بین دو

مقدمه

روشهای متعددی برای ایجاد تپهای با انرژی بالا با استفاده از کاهش مقاومت گاز توسط پیش-یونش صورت می‌گیرد. کیفیت کار پیش یونش براساس چکالی و یکنواختی فتو الکترونهایی است که بطور مستقیم بر دامنه کاری لیزر تاثیر می‌گذارد. سیستمهای پیش یونش به دو دسته تقسیم می‌شوند:

۱- تزریق ذرات باردار بر انرژی مانند الکترون و پروتون که اولین بار اندريا نخین و فنس ترماخر کاربرد پرتوهای پروتونی و الکترونی را گزارش کردند (۱۲ و ۱۱).

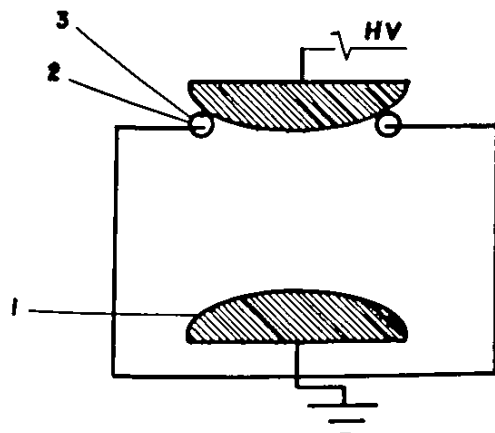
۲- پرتوهای فرا بنفش گسیل شده از پیش تخلیه برای تولید الکترون آزاد که به آن پیش یونسازی ماوراء بنفش (UV preionization) گویند

بوجود آمدند، جریان های از الکترون که سریعاً منجر به تشکیل بهمن های الکترونی می شوند تشکیل می گردد. پلاسمای تولید شده در سطح عایق باعث عبور جریان می شود که با تابش ۷۰ هزاره است (شکل ۱).

لازم به توضیح است که مقدار و سرعت ولتاژ اعمال شده بستگی به جنس گازها، فشار گازها در نسبت اختلاط و شکل هندسی الکترودها دارد. ضمناً "نوع دی الکتریک و ضخامت آن تعیین کننده مقدار انرژی است که می تواند قبل از ایجاد قوس (arc) در گاز نفوذ کند.

وسایل و روش‌های آزمایش

لیزر مورد بحث دارای حجم فعال، یعنی فضای بین سراسر الکترودهای برابر $1 \times 1 \times 20$ سانتی‌متر مکعب است و جنس الکترودها از آلومینیوم در نظر گرفته شده است که داخل جعبه مکعب مستطیل شکل از



شکل ۱- ساخت مکانیسم عملکرد پیش یونش کرونا- یونش کرونا. ۱- الکترودها، ۲- سارک مسی، ۳- سنته استوانهای.

الکترود میدان شدیدی در فضای بین بدنه لوله‌ها و کاتد سبب تخلیه ناقص کرونا در حجم گازی کوچک بین تینه و سطح لوله حاصل می‌شود و نیز عبور جریان در سطح لوله موجب تابش پرتو ماوراء بینش می‌گردد که این حالت با شارژ خازن رابط قطع می‌شود. در سیستم دوم نیز از ایجاد تخلیه کرونا بین کاتد و یک الکترود دیگر که با عایق از هم جدا شده‌اند انجام شده است که به محیط تابش مورد نیاز را گسیل می‌دارد. سیستم‌های فوق در فشارهای زیر اتمسفر بهتر عمل می‌کردد و حتی در محدوده فوق هم روشانی محیط تخلیه متناوب بوده و سبب پراکندگی و در مواردی ستینی شدن ضربان لیزر می‌شده است.

علاوه بر آن کارائی تخلیه کرونا حساسیت شدیدی به قله ضربان ولتاژ نشان داده است. بطوریکه افزایش ۲۰ تا ۳۰ درصد در آن سبب گذار درخشش تا جرقه (glow-to-arc) می‌شود. هم‌چنین زمان رشد ناپایداری بستگی شدید به نسبت اختلاط بخصوص مقدار هلیوم (He) دارد.

mekanism عملکرد پیش یونش کرونا

از طریق مدار الکتریکی یک تپ ولتاژ قوی به طور ناگهانی بین دو الکترود و یا به عبارت دیگر بین یکی از الکترودها و سیم نازک مسی که در داخل استوانه شیشه‌ای قرار دارد، ایجاد می‌گردد. در نتیجه عایق تحت تاثیر میدان قوی قرار گرفته و پلاریزه می‌شود و یک توزیع بار یکنواخت در سطح عایق بوجود می‌آید. این میدان همچنین باعث شکست جزئی گاز احاطه شده در محیط می‌شود.

یونهای تولید شده در گاز احاطه کننده، توسط دی الکتریک (عایق) جذب و الکترونها به آسانی از لایه‌های گاز، بواسیله میدان الکتریکی کشیده می‌شوند. همینکه الکترونها کافی در لایه‌های گاز

خازن از مسیر الکترودهای لیزر است. اگر فرایند فوق به حد کافی سریع و قله ولتاژ بالا و هم چنین پیش - یونش موثری در سیستم وجود داشته باشد، محیط گازی به صورت تخلیه درخشان و همگن می‌شکند.

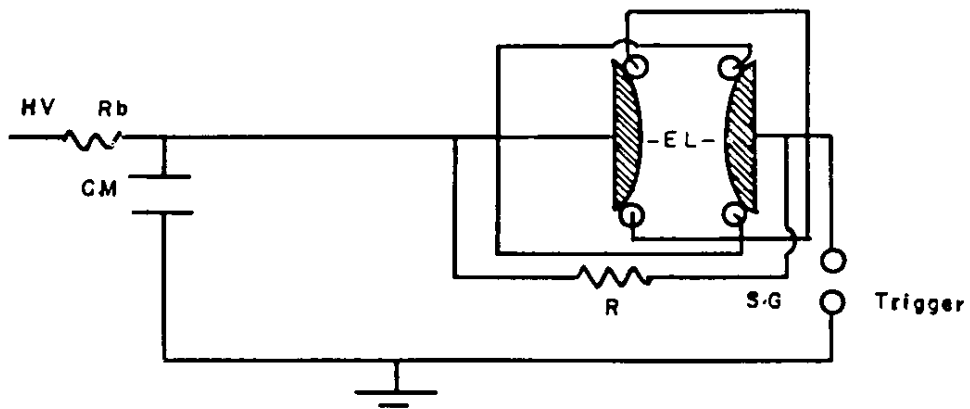
توضیح اجمالی عملکرد مدار بده این صورت است که ابتداء خازن اصلی از طریق مقاومت R_b شارژ شده و نیز دو سر کلید جرقه هم از طریق مقاومت R همان اختلاف پتانسیل را دارا خواهد شد. در این حالت مقاومت R_b طوری انتخاب می‌شود که جریان خروجی منبع تغذیه را کنترل کند تا منبع تغذیه اتصال کوتاه نشود. سپس با اعمال ولتاژی با ضربان بزرگ از طریق یک منبع جرقه ساده، که عموماً می‌تواند با استفاده از کویل اتومبیل ساخته شود، بین الکترود آتش (۳) و کاتد (۱) اعمال شده و سبب بروز جرقه بین آن دو و در واقع پیش یونسازی کردن محیط می‌شود. درنهایت محیط به صورت جرقه می‌شکند. در این حالت بین دو الکترود لیزر که در مرحله شارژ بخاطر وجود مقاومت R هم پتانسیل می‌باشد، اختلاف پتانسیل شارژ V برقرار

جنس پلکسی کلاس قرار دارد. طول حفره نوری لیزر ۲۸ سانتیمتر است که دو انتهای آن به وسیله دو آئینه مسطح یکی با انعکاس ۱۰۰٪ از جنس طلا و دیگری با انعکاس ۸۰٪ از جنس ژرمانیم محدود می‌گردد.

سیستم پیش یونش نیز از ۴ عدد لوله شیشه‌ای به قطر خارجی ۴ میلیمتر و ضخامت $2/5$ میلیمتر که داخل آنها سیم فلزی از جنس مس به ضخامت $0/5$ میلیمتر قرار دارد تشکیل شده است. چگونگی آرایش سیستم پیش یونش در شکل (۲) نشان داده شده است. انرژی خروجی این لیزر برای هر تپ ۱۰۰ نانوثانیه‌ای $0/08$ ژول است که معادل توان نوری ۸۰۰ کیلو وات است.

طرز کار مدار الکتریکی

در لیزرهای گازی تبی از مدارهای ظاهراء متفاوتی استفاده می‌شود ولی اصول مبتنی بر همه آنها ذخیره انرژی در یک خازن و سپس بکار آنداختن یک کلید ولتاژ بالا (گاف جرقه) برای اتصال دو سر



شکل ۲- مدار الکتریکی لیزر تبی گاز کربنیک با سیستم پیش یونش کرونا.

ف. سلطانمرادی و همکاران. لیزر کوچک تپی CO_2 نوع TEA با پیش‌بونش کرونا.

چگالی فتوالکترون‌های به دست آمده از روش کرونا در مقایسه با سری جرقهای بسیار زیاد و حداقل از مرتبه اول است (۱۳) .

در پیش‌بونش کرونا طیف UV ایجاد شده در ناحیه نرم است. به این معنی که در گستره ۲۰۰ - ۱۱۵ نانومتر این اثر از بازدهی خوبی برخوردار است، در صورتیکه در سری جرقهای طیف UV سخت کمتر از ۱۰۰ نانومتر ایجاد می‌شود (۱۴). آهنگ تکراری (PRF) بدون عمل قوس (arc) در کرونا (SCP) بیشتر از سری جرقهای بوده که این محدودیت بوسیله منبع تغذیه لیزر ایجاد می‌شود. در موقع استفاده از سری جرقهای روی الکتروودها لکه سیاهی مشاهده می‌شود که می‌توان بصورت زیرآنرا توجیه کرد.

در سری جرقهای گاز کربنیک (CO_2) موجود در محفظه لیزر درجه حرارت بالا تجزیه شده و در نتیجه اکسیژن ایجاد خواهد شد. اکسیژن تولید شده با الکتروودها واکنش انجام می‌دهد و آنها را اکسیده می‌کند. ضمناً "تجزیه شدن گاز کربنیک به اکسیژن و CO_2 باعث کاهش میزان گاز کربنیک و همچنین بوجود آمدن گازهای مزاحم NO و N_2O شده و لیزر قادر نیست در سیستم بسته (sealed-off) به مدت طولانی عمل نماید (۱۵ و ۱۶) . در حالیکه این فرآیند در پیش‌بونش کرونا وجود ندارد و لیزر گاز-کربنیک با این نوع پیش‌بونش قادر می‌سازد به مدت بسیار طولانی به صورت بسته کار کند و مورد اخیر این نوع پیش‌بونش را از لحاظ ارزانی و کارائی بی‌رقیب می‌سازد.

پیش‌بونش کرونا از نظر مدار الکتریکی از ویژه‌گی خاصی نسبت به سری جرقهای برخوردار است، زیرا در کرونا احتیاجی به خارن پیش‌بونش نیست، در صورتیکه در سری جرقهای خازن مورد نیاز می‌باشد، مزایای ذکر شده نشان دهنده آن است که پیش-

می‌شود. در همین حال بین سیم‌های فلزی درون شیشه استوانه‌ای و الکتروودها اختلاف ولتاژ ایجاد شده و پیش‌بونش طبق آنچه که قبل "اشارة شد عمل کرده و پرتوهای UV گسیل می‌کند و در نهایت امپدانس محیط را پائین می‌آورد. همراه با افزایش اختلاف پتانسیل بین دو الکتروود سرانجام در محیط پلاسمائی ضعیف و همگن درخشنان ایجاد می‌شود و در نتیجه با عبور الکتروونها از محیط خازن اصلی تخلیه شده و برای عملکرد بعدی آماده می‌شود.

در این مسیر لازم است مقاومت R در مدت دشارژ، مقاومت بالائی داشته باشد تا جریان کمتری از آن عبور کند ولی در عین حال اگر امپدانس اهمی آن بالا باشد، مدت شارژ مدار هم بیش از حد افزایش می‌باید. لذا برای رفع این مشکل و با توجه به ماهیت متغیر نسبت با زمان مرحله شکست می‌توان از یک سیم پیچ با ضریب خود القائی به حد کافی بالا استفاده کرد.

این سیستم مدار لیزری باید طوری طرح ریزی شود که از اندوکتانس اضافی جلوگیری شود، برای کاهش اندوکتانس از نوارها و صفحات مس به جای رابطهای سیمی استفاده شده است. شکل (۲) شما کلی مدار الکتریکی لیزر ضربانی با پیش‌بونش کرونا را نشان می‌دهد.

مقایسه پیش‌بونش کرونا با سری جرقهای پیش‌بونش سری جرقه دارای انواع گوناگونی است که عبارتند از سری جرقهای سوزن به سوزن و سری جرقهای سوزن به الکتروود که دو نوع سیستم ذکر شده قبل "در این مرکز راماندازی و مقایسه گردیده است (۱۷) .

در اینجا مقایسه دو سیستم پیش‌بونش کرونا و سری جرقهای و همچنین مزیت کرونا را نسبت به سری جرقهای بررسی خواهیم کرد:

اندازه‌گیری قدرت خروجی بر حسب تفییرات فشار گازها

قدرت خروجی لیزر (در واحد اختیاری) بر حسب تفییرات فشار گازها برای ولتاژهای مختلف ۲۰ - ۲۳ - ۲۵ - ۱۶ - ۱۸ کیلووات، اندازه گرفته شده. در این اندازه‌گیری از واتمتر ۳۶۲ استفاده گردید. در تمام مراحل آزمایش سرعت تکرار پذیری ۱ هرتز در نظر گرفته شده است (شکل‌های ۴، ۵ و ۶).

اندازه‌گیری قدرت خروجی لیزر بر حسب ولتاژ

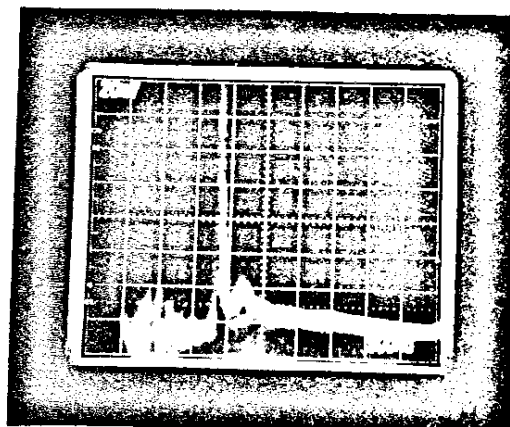
قدرت خروجی لیزر (در واحد اختیاری) بر حسب تغییرات ولتاژ ورودی اندازه گرفته شده در این اندازه‌گیری از واتمتر ۳۶۲ استفاده گردید. در تمام مراحل آزمایش نرخ تکرار ۱ هرتز و نسبت اختلاط $\text{N}_2\text{-CO}_2\text{-He}$ بده ترتیب ۲۰ - ۳۷ - ۱۵ در نظر گرفته شده است (شکل ۷).

یونش کرونا از بهره بالائی نسبت به سری جرقهای برخوردار است.

اندازه‌گیری ضربان قدرت خروجی

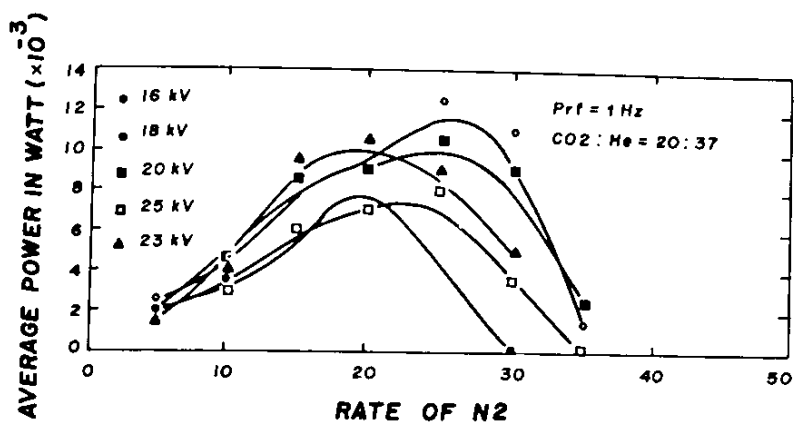
پس از به کار انداختن مدار پیش‌یونش دستگاه و مطمئن شدن از ثبات تخلیه در فرکانس یک هرتز، قدرت خروجی اندازه‌گیری شد. بدین منظور از آشکارساز فوتون دراگ مدل 7425 استفاده شده است. نمونه رفتار زمانی تپ لیزری در شکل ذیل آورده شده است.

در سرتاسر آزمایشهای زمانی از اسیلوسکوپ تکترونیکس مدل 7844 همراه با تقویت‌کننده مدل A19 ۷ استفاده گردید. بطوریکه شکل ۳ نشان می‌دهد نیم‌پهنه‌ای زمانی (FWHM) خروجی لیزر در حدود صد نانو ثانیه است. توان خروجی لیزر مشاهده شده بیش از ۸۰۰ کیلووات با بهره در حدود ۵٪ می‌باشد.

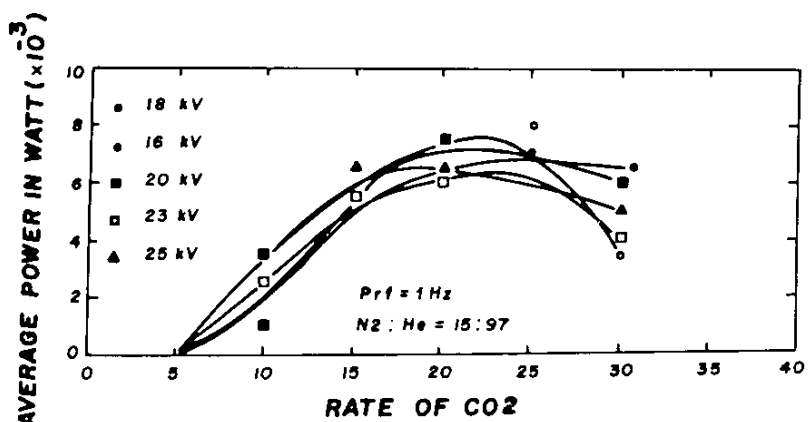


شکل ۳ - نمونه‌ای از رفتار زمانی تپ لیزر نوع TEA با استفاده از آشکارساز فوتون - دراگ 7425 با پیش‌یونش کرونا.

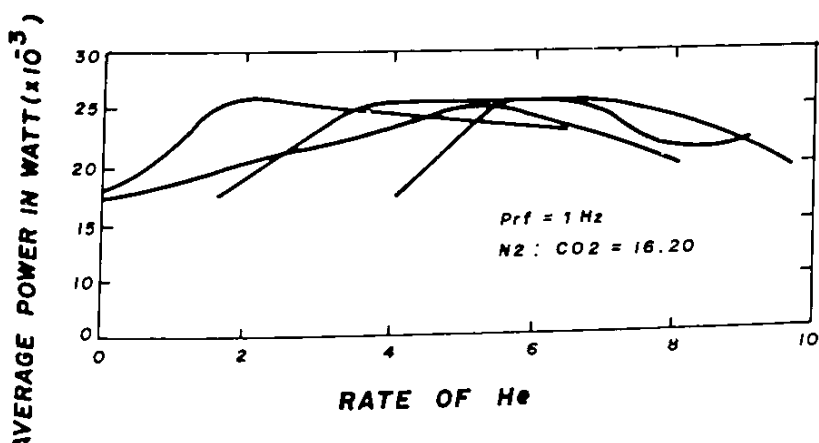
ف. سلطانمرادی و همکاران. لیزر کوچک تپی CO_2 نوع TEA با پیش یونش کرونا.



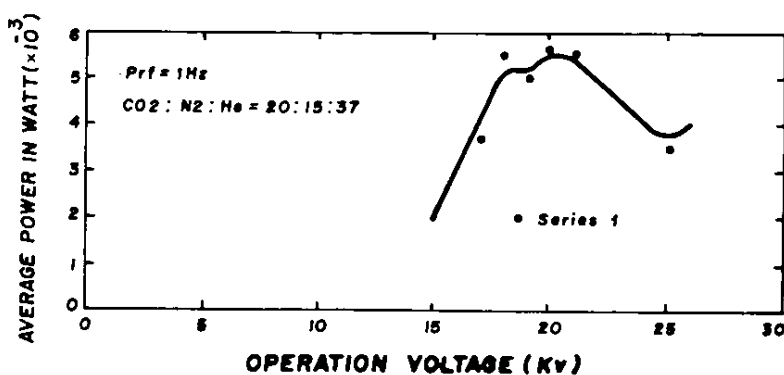
شکل ۴- نتایج اندازهگیری قدرت خروجی لیزر بر حسب فشار گاز ازت.



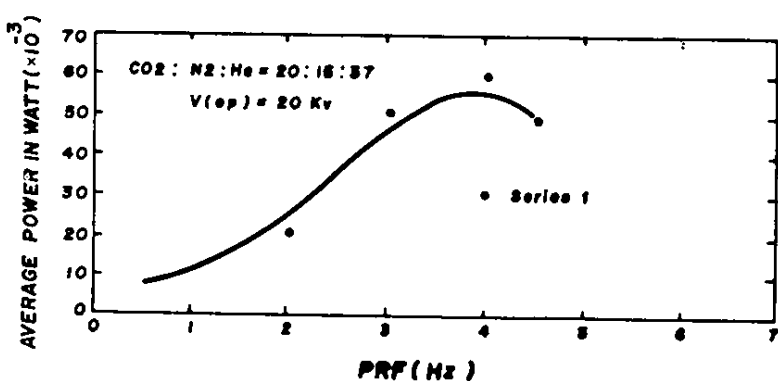
شکل ۵- نتایج اندازهگیری قدرت خروجی لیزر بر حسب فشار گاز دی اکسیدکربن.



شکل ۶- نتایج اندازهگیری قدرت خروجی لیزر بر حسب فشار گاز هلیوم.



شکل ۷ - نتایج اندازه‌گیری قدرت خروجی لیزر بر حسب ولتاژ ورودی .



شکل ۸ - نتایج اندازه‌گیری قدرت خروجی لیزر بر حسب میزان سرعت نرخ تکرار (هرتز) .

گرفت. سیستم کرونا از مزیت‌های ویژه‌ای نسبت به سایر سیستم‌های دیگر پیش‌یونش دارد که قبلاً "به آنها اشاره شده است، برخوردار است و این امر نشان‌دهنده آن است که مکانیسم کاری سیستم دارای بازدهی بالا و خوبی است .

تشکر و قدردانی

در خاتمه از آقایان عزیزاله زند و محمد رضا غفاری که در ساختن تریگر و کمک در کارهای جنی با ما همکاری داشته‌اند و همچنین آقای محمد رضا شیرین که در رسم اشکال مرتبط به این مقاله با اینجانبان همکاری داشتند تشکر و قدردانی می‌شود .

اندازه‌گیری قدرت خروجی لیزر بر حسب میزان سرعت نرخ تکرار قدرت خروجی لیزر (در واحد اختیاری) بر حسب میزان سرعت نرخ تکرار برابر ولتاژ ۲۰ کیلوولت و نسبت اختلاط $\text{CO}_2 - \text{N}_2 - \text{He}$ به ترتیب ۳۷ - ۱۵ - ۲۰ اندازه‌گیری شده است. در این آزمایش نیاز از واتمتر ۳۶۲ و از اسیلوسکوپ تکترونیکس مدل ۷۸۴۴ استفاده گردید (شکل ۸) .

نتیجه‌گیری

در این مقاله لیزر ضربانی گاز کربنیک با سیستم پیش‌یونش کرونا مورد مطالعه و تجزیه و تحلیل قرار

References

1. Yu. V. Glushchenko, "Preionization of a CO_2 Laser Gas Mixture by Particles", Sov. J. Quant. Blec. 16, 1340 (1986).
2. H. Seguin, "Ultraviolet Photoionization in TEA Lasers" Journal of Quantum Electronics, QE-10, 511 (1974).
3. B. Norris and A.L.S. Smith, "Compact Sealed Photopreionized TEA CO_2 Laser Without Heterogeneous Catalysis or Gas Recycling", Appl. Phys. 43, 385 (1979).
4. H. Seguin and J. Tulip, "Photoinitiated and Photo-Sustained Laser" Appl. Phys. 21, 414 (1972).
5. S.J. Scott and A.L.S. Smith "Ultraviolet Photoionization in CO_2 TEA Lasers", J. Appl. Phys. 64, 647 (1988).
6. G.R. Ernst and A.G. Boer, "Construction and Performance Characteristics of Rapid Discharge TEA CO_2 Laser", Opt. Commun. 27, 105 (1978).
7. K.R. Rickwook, "A Semiconductor Preionizer for Transversly Excited Atomospheric CO^2 Laser" J. Appl. Phys 53, 2840 (1982).
8. S.J. Scott and A.L.S Smith "Ultraviolt Photoionization in CO_2 TEA Laser", J. Appl. Phys. 64, 647 (1988).
9. S.J. Scott, "Procs. of Laser 86 Conference", Edited by C.P. Wang 647, (1986).
10. R. Dunanchin "Extension of TEA CO_2 Laser", IEEE J. Quan. Elec, QE-8, 163 (1972).
11. A.L. Laflame, "Double Discharge Excitation for Atmospheric Pressure CO_2 Laser", Rev. Sci. Instrum 41, 1578 (1970).
12. F. Soltanmoradi, AEOI Scientific Bulletin 7, Spring (1989).
13. R. Marchetti and E. Penco, "A New Type of Corona Discharge Photo-Ionization Source for Gas Lasers, J. Appl. Phys. 56, 3163 (1984).
14. G.D. Spiers and A. Vass, "The Effect of Sliding Spark Corona and Semiconductor Preionizer on the Operation and Output of a TEA CO_2 Laser", Optics Communications 62, 256 (1984).
15. B. Walter, "Dielectrics for Corona Preionization of a TEA Lasers" J. Phys E. Sci. Instrum. 18, 279 (1985).

A SMALL TYPE TEA CO₂ LASER WITH CORONA PREIONIZATION

F. Soltanmoradi, S. Jelvani, S. Behrouzinia and M. Aram

Laser Research Centre
Atomic Energy Organization of Iran

Abstract

In this article a double discharge atmospheric pressure (TEA) CO₂ laser using corona preionization system is described. Various experimental procedures for increasing the output efficiency have been examined. The results of the experiment is compared with the previously reported CO₂ laser with the spark preionization system. Finally, the advantages of the corona preionization in comparison with the spark preionization system are introduced. With the present CO₂ laser an output peak power of approximately 800 kW and the efficiency of %5 has been obtained. It should be cited that the corona preionization in CO₂ laser has been introduced for the first time in Iran.